

---

# Une méthode de relaxation pour le modèle de Baer–Nunziato en configuration isentropique

Khaled Saleh

Laboratoire Jacques-Louis Lions UPMC,  
EDF R&D Département MFEE,

Congrès SMAI 2011.

---

# Introduction

---

## Travail réalisé en collaboration avec

Frédéric Coquel, Jean-Marc Hérard & Nicolas Seguin.

## Objectifs de la thèse:

Dans le cadre de l'étude des écoulements diphasiques pour les coeurs de réacteurs nucléaires,

- ▷ Etude et hiérarchisation de différents modèles (homogènes, bifluïdes...),
  - ▷ Développement de schémas numériques adaptés (changement de régime dominant, phase évanescence, problèmes de résonance, termes sources de relaxation...)
-

# Plan de l'exposé

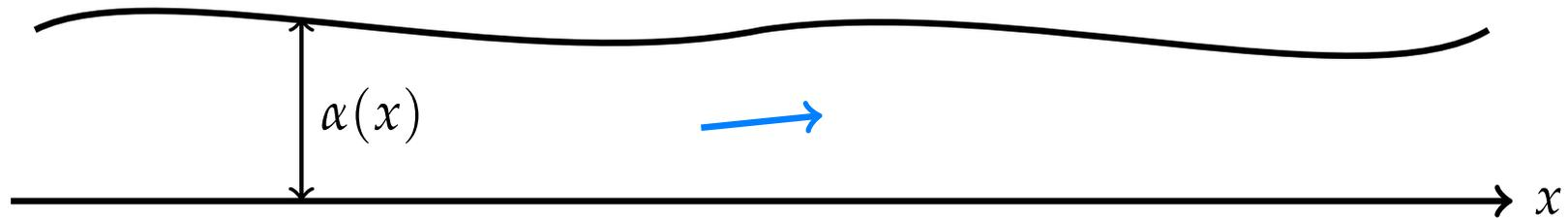
---

- ▷ Un modèle "jouet": les équations d'Euler en section variable,
  - ▷ Le modèle de Baer & Nunziato et ses propriétés,
  - ▷ Une approximation par relaxation pour le modèle de Baer & Nunziato,
  - ▷ Le problème de Riemann pour le système de relaxation,
  - ▷ Conclusion et perspectives.
-

# Un modèle "jouet"

---

Équations d'Euler en section variable:



$$\partial_t(\alpha\rho) + \partial_x(\alpha\rho w) = 0,$$

$$\partial_t(\alpha\rho w) + \partial_x(\alpha\rho w^2 + \alpha p(\rho)) - p(\rho)\partial_x\alpha = 0,$$

$\rho$  densité,

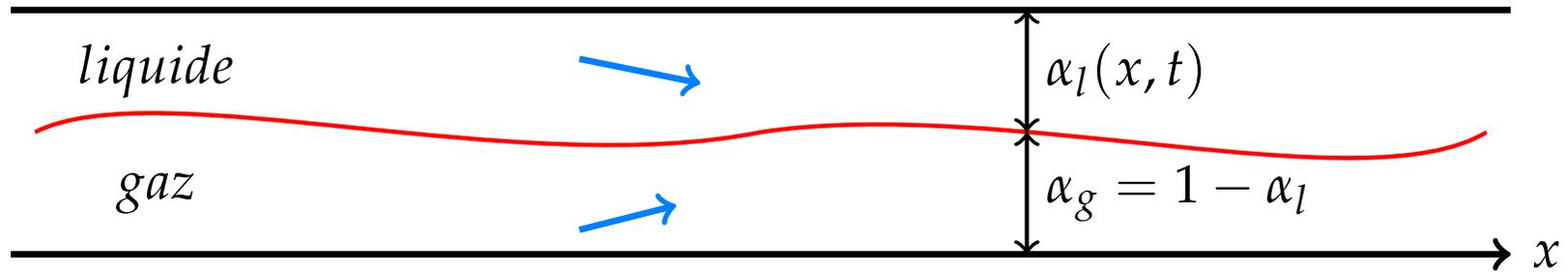
$w$  vitesse,

$\rho \mapsto p(\rho)$  loi de pression barotrope.

---

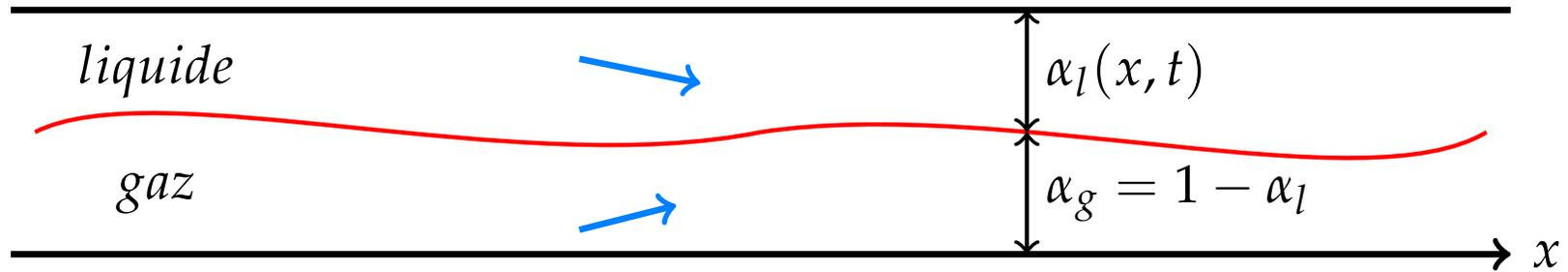
# Modèle de Baer & Nunziato

---



# Modèle de Baer & Nunziato

---

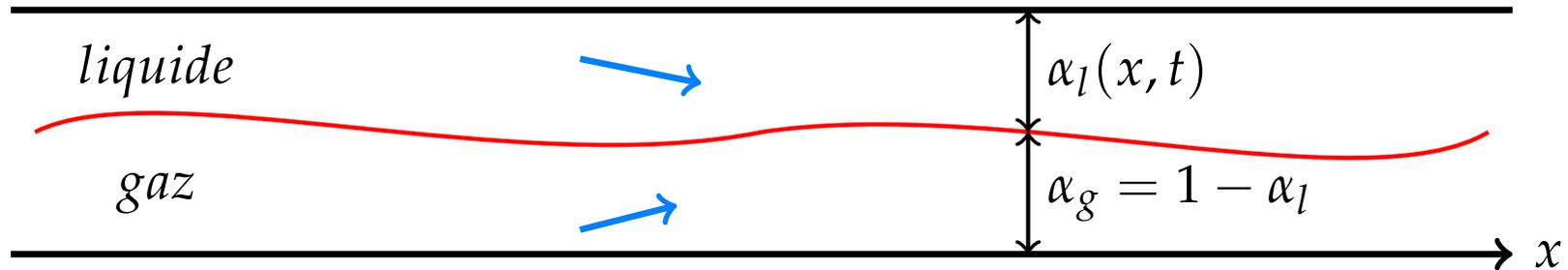


$$\partial_t(\alpha_l \rho_l) + \partial_x(\alpha_l \rho_l u_l) = 0$$

$$\partial_t(\alpha_l \rho_l u_l) + \partial_x(\alpha_l \rho_l u_l^2 + \alpha_l p_l) - p_l \partial_x \alpha_l =$$

# Modèle de Baer & Nunziato

---



$$\partial_t(\alpha_l \rho_l) + \partial_x(\alpha_l \rho_l u_l) = 0$$

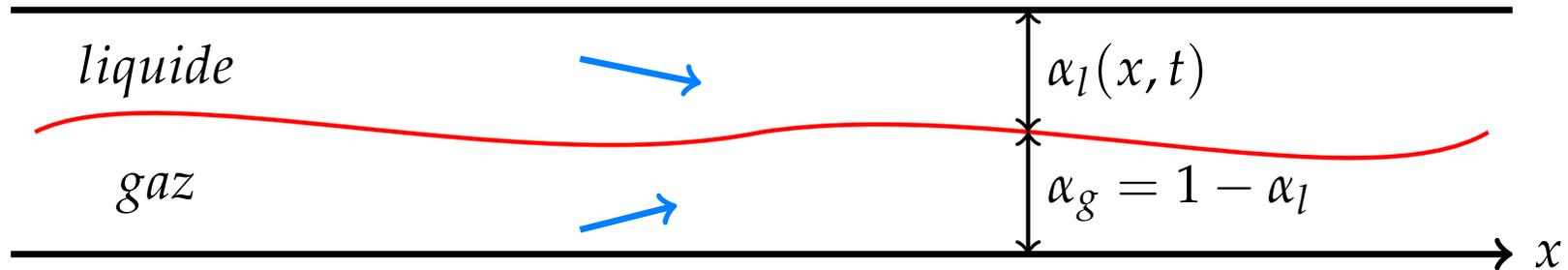
$$\partial_t(\alpha_l \rho_l u_l) + \partial_x(\alpha_l \rho_l u_l^2 + \alpha_l p_l) - p_i \partial_x \alpha_l =$$

$$\partial_t(\alpha_g \rho_g) + \partial_x(\alpha_g \rho_g u_g) = 0$$

$$\partial_t(\alpha_g \rho_g u_g) + \partial_x(\alpha_g \rho_g u_g^2 + \alpha_g p_g) - p_i \partial_x \alpha_g =$$

# Modèle de Baer & Nunziato

---



$$\partial_t \alpha_l + v_i \cdot \partial_x \alpha_l =$$

$$\partial_t(\alpha_l \rho_l) + \partial_x(\alpha_l \rho_l u_l) = 0$$

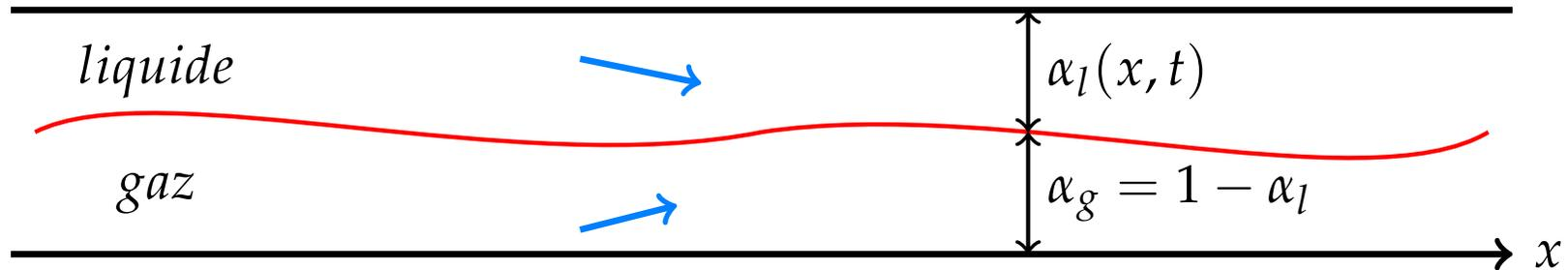
$$\partial_t(\alpha_l \rho_l u_l) + \partial_x(\alpha_l \rho_l u_l^2 + \alpha_l p_l) - p_i \partial_x \alpha_l =$$

$$\partial_t(\alpha_g \rho_g) + \partial_x(\alpha_g \rho_g u_g) = 0$$

$$\partial_t(\alpha_g \rho_g u_g) + \partial_x(\alpha_g \rho_g u_g^2 + \alpha_g p_g) - p_i \partial_x \alpha_g =$$

# Modèle de Baer & Nunziato

---



$$\partial_t \alpha_l + v_i \cdot \partial_x \alpha_l = \Theta_p(p_l - p_g)$$

$$\partial_t(\alpha_l \rho_l) + \partial_x(\alpha_l \rho_l u_l) = 0$$

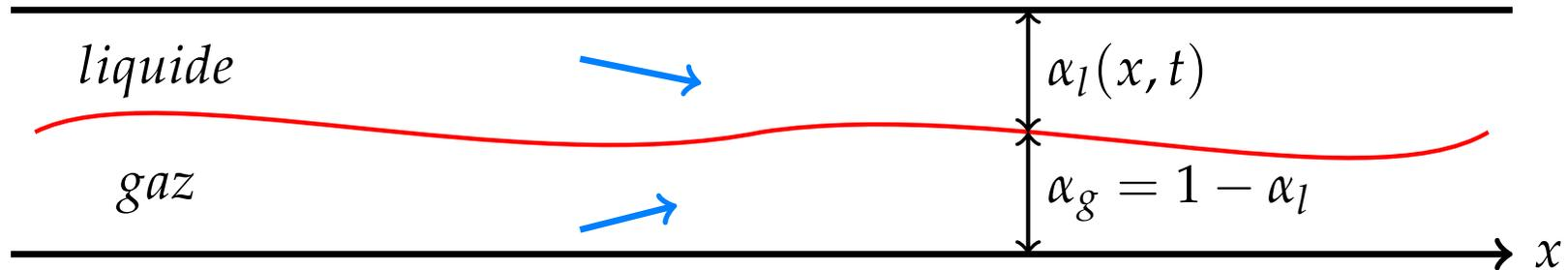
$$\partial_t(\alpha_l \rho_l u_l) + \partial_x(\alpha_l \rho_l u_l^2 + \alpha_l p_l) - p_i \partial_x \alpha_l = \Theta_u(u_g - u_l)$$

$$\partial_t(\alpha_g \rho_g) + \partial_x(\alpha_g \rho_g u_g) = 0$$

$$\partial_t(\alpha_g \rho_g u_g) + \partial_x(\alpha_g \rho_g u_g^2 + \alpha_g p_g) - p_i \partial_x \alpha_g = \Theta_u(u_l - u_g)$$

# Modèle de Baer & Nunziato

---



$$\partial_t \alpha_l + \mathbf{v}_i \cdot \partial_x \alpha_l = \Theta_p (p_l - p_g)$$

$$\partial_t (\alpha_l \rho_l) + \partial_x (\alpha_l \rho_l u_l) = 0$$

$$\partial_t (\alpha_l \rho_l u_l) + \partial_x (\alpha_l \rho_l u_l^2 + \alpha_l p_l) - p_i \partial_x \alpha_l = \Theta_u (u_g - u_l)$$

$$\partial_t (\alpha_g \rho_g) + \partial_x (\alpha_g \rho_g u_g) = 0$$

$$\partial_t (\alpha_g \rho_g u_g) + \partial_x (\alpha_g \rho_g u_g^2 + \alpha_g p_g) - p_i \partial_x \alpha_g = \Theta_u (u_l - u_g)$$

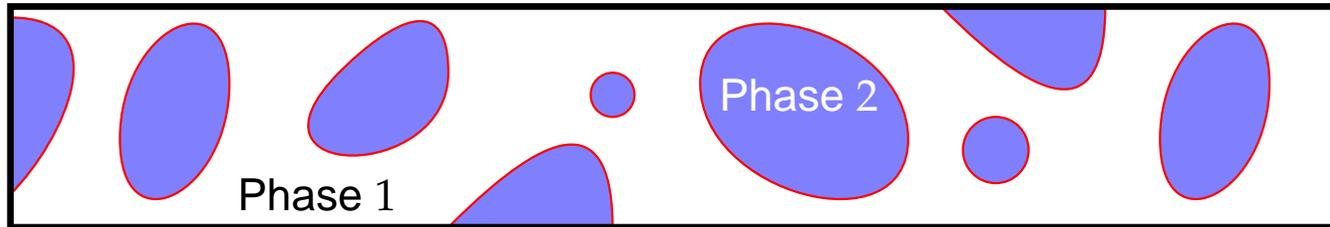
$\Theta_p > 0$  et  $\Theta_u > 0$  coefficients de relaxation en vitesse et pression relatives  $u_l - u_g$  et  $p_l - p_g$ .

$(\mathbf{v}_i, p_i)$  vitesse et pression d'interface,

---

# Modèle de Baer & Nunziato

---



$$\partial_t \alpha_l + \mathbf{v}_i \cdot \partial_x \alpha_l = \Theta_p (p_l - p_g)$$

$$\partial_t (\alpha_l \rho_l) + \partial_x (\alpha_l \rho_l u_l) = 0$$

$$\partial_t (\alpha_l \rho_l u_l) + \partial_x (\alpha_l \rho_l u_l^2 + \alpha_l p_l) - p_i \partial_x \alpha_l = \Theta_u (u_g - u_l)$$

$$\partial_t (\alpha_g \rho_g) + \partial_x (\alpha_g \rho_g u_g) = 0$$

$$\partial_t (\alpha_g \rho_g u_g) + \partial_x (\alpha_g \rho_g u_g^2 + \alpha_g p_g) - p_i \partial_x \alpha_g = \Theta_u (u_l - u_g)$$

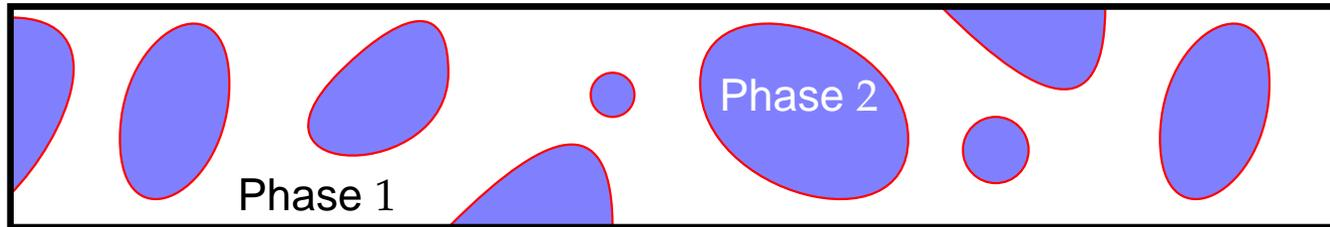
$\Theta_p > 0$  et  $\Theta_u > 0$  coefficients de relaxation en vitesse et pression relatives  $u_l - u_g$  et  $p_l - p_g$ .

$(\mathbf{v}_i, p_i)$  vitesse et pression d'interface,

---

# Modèle de Baer & Nunziato

---



$$\partial_t \alpha_l + \mathbf{v}_i \cdot \partial_x \alpha_l = \Theta_p (p_l - p_g)$$

$$\partial_t (\alpha_l \rho_l) + \partial_x (\alpha_l \rho_l u_l) = 0$$

$$\partial_t (\alpha_l \rho_l u_l) + \partial_x (\alpha_l \rho_l u_l^2 + \alpha_l p_l) - p_i \partial_x \alpha_l = \Theta_u (u_g - u_l)$$

$$\partial_t (\alpha_g \rho_g) + \partial_x (\alpha_g \rho_g u_g) = 0$$

$$\partial_t (\alpha_g \rho_g u_g) + \partial_x (\alpha_g \rho_g u_g^2 + \alpha_g p_g) - p_i \partial_x \alpha_g = \Theta_u (u_l - u_g)$$

$\Theta_p > 0$  et  $\Theta_u > 0$  coefficients de relaxation en vitesse et pression relatives  $u_l - u_g$  et  $p_l - p_g$ .

$(\mathbf{v}_i, p_i)$  vitesse et pression d'interface,  $(\mathbf{v}_i, p_i) = (u_g, p_l)$ .

---

# Modèle de Baer & Nunziato: Principales propriétés

---

$$\partial_t \alpha_l + u_g \cdot \partial_x \alpha_l = \Theta_p(p_l - p_g)$$

$$\partial_t(\alpha_l \rho_l) + \partial_x(\alpha_l \rho_l u_l) = 0$$

$$(\mathcal{S}) \quad \partial_t(\alpha_l \rho_l u_l) + \partial_x(\alpha_l \rho_l u_l^2 + \alpha_l p_l) - p_l \partial_x \alpha_l = \Theta_u(u_g - u_l)$$

$$\partial_t(\alpha_g \rho_g) + \partial_x(\alpha_g \rho_g u_g) = 0$$

$$\partial_t(\alpha_g \rho_g u_g) + \partial_x(\alpha_g \rho_g u_g^2 + \alpha_g p_g) - p_l \partial_x \alpha_g = \Theta_u(u_l - u_g)$$



# Modèle de Baer & Nunziato: Principales propriétés

---

$$\partial_t \alpha_l + u_g \cdot \partial_x \alpha_l = 0$$

$$\partial_t(\alpha_l \rho_l) + \partial_x(\alpha_l \rho_l u_l) = 0$$

$$(\mathcal{H}) \quad \partial_t(\alpha_l \rho_l u_l) + \partial_x(\alpha_l \rho_l u_l^2 + \alpha_l p_l) - p_l \partial_x \alpha_l = 0$$

$$\partial_t(\alpha_g \rho_g) + \partial_x(\alpha_g \rho_g u_g) = 0$$

$$\partial_t(\alpha_g \rho_g u_g) + \partial_x(\alpha_g \rho_g u_g^2 + \alpha_g p_g) - p_l \partial_x \alpha_g = 0$$



# Modèle de Baer & Nunziato: Principales propriétés

---

$$\partial_t \alpha_l + u_g \cdot \partial_x \alpha_l = 0$$

$$\partial_t(\alpha_l \rho_l) + \partial_x(\alpha_l \rho_l u_l) = 0$$

$$(\mathcal{H}) \quad \partial_t(\alpha_l \rho_l u_l) + \partial_x(\alpha_l \rho_l u_l^2 + \alpha_l p_l) - p_l \partial_x \alpha_l = 0$$

$$\partial_t(\alpha_g \rho_g) + \partial_x(\alpha_g \rho_g u_g) = 0$$

$$\partial_t(\alpha_g \rho_g u_g) + \partial_x(\alpha_g \rho_g u_g^2 + \alpha_g p_g) - p_g \partial_x \alpha_g = 0$$

**Proposition.** (Hyperbolicité) *Le système  $(\mathcal{H})$  admet les valeurs propres suivantes*

$$u_g \quad LD,$$

$$u_l - c_l : \quad VNL, \quad u_g - c_g : \quad VNL, \quad u_g + c_g : \quad VNL, \quad u_l + c_l : \quad VNL$$

$$\text{avec } c_l = \sqrt{\partial_\rho p_l(\rho_l)} \text{ et } c_g = \sqrt{\partial_\rho p_g(\rho_g)}.$$

*Le système est hyperbolique si, et seulement si,  $|u_l - u_g| \neq c_l$ .*

---

# Modèle de Baer & Nunziato: Principales propriétés

---

$$\partial_t \alpha_l + u_g \cdot \partial_x \alpha_l = 0$$

$$\partial_t(\alpha_l \rho_l) + \partial_x(\alpha_l \rho_l u_l) = 0$$

$$(\mathcal{H}) \quad \partial_t(\alpha_l \rho_l u_l) + \partial_x(\alpha_l \rho_l u_l^2 + \alpha_l p_l) - p_l \partial_x \alpha_l = 0$$

$$\partial_t(\alpha_g \rho_g) + \partial_x(\alpha_g \rho_g u_g) = 0$$

$$\partial_t(\alpha_g \rho_g u_g) + \partial_x(\alpha_g \rho_g u_g^2 + \alpha_g p_g) - p_l \partial_x \alpha_g = 0$$

**Proposition.** (Entropie) Les solutions *régulières* de  $(\mathcal{H})$  satisfont l'équation de conservation

$$\partial_t(\alpha_l \rho_l E_l + \alpha_g \rho_g E_g) + \partial_x(\alpha_l \rho_l E_l u_l + \alpha_g \rho_g E_g u_g + \alpha_l p_l u_l + \alpha_g p_g u_g) = 0.$$

avec  $E_l = \frac{u_l^2}{2} + e_l$  et  $E_g = \frac{u_g^2}{2} + e_g$ .

---

# Modèle de Baer & Nunziato: Principales propriétés

---

$$\partial_t \alpha_l + u_g \cdot \partial_x \alpha_l = \Theta_p(p_l - p_g)$$

$$\partial_t(\alpha_l \rho_l) + \partial_x(\alpha_l \rho_l u_l) = 0$$

$$(\mathcal{S}) \quad \partial_t(\alpha_l \rho_l u_l) + \partial_x(\alpha_l \rho_l u_l^2 + \alpha_l p_l) - p_l \partial_x \alpha_l = \Theta_u(u_g - u_l)$$

$$\partial_t(\alpha_g \rho_g) + \partial_x(\alpha_g \rho_g u_g) = 0$$

$$\partial_t(\alpha_g \rho_g u_g) + \partial_x(\alpha_g \rho_g u_g^2 + \alpha_g p_g) - p_l \partial_x \alpha_g = \Theta_u(u_l - u_g)$$

**Proposition.** (Entropie) Les solutions *régulières* de  $(\mathcal{H})$  satisfont l'équation de conservation

$$\partial_t(\alpha_l \rho_l E_l + \alpha_g \rho_g E_g) + \partial_x(\alpha_l \rho_l E_l u_l + \alpha_g \rho_g E_g u_g + \alpha_l p_l u_l + \alpha_g p_g u_g) = 0.$$

avec  $E_l = \frac{u_l^2}{2} + e_l$  et  $E_g = \frac{u_g^2}{2} + e_g$ .

---

# Modèle de Baer & Nunziato: Principales propriétés

---

$$\partial_t \alpha_l + u_g \cdot \partial_x \alpha_l = \Theta_p(p_l - p_g)$$

$$\partial_t(\alpha_l \rho_l) + \partial_x(\alpha_l \rho_l u_l) = 0$$

$$(\mathcal{S}) \quad \partial_t(\alpha_l \rho_l u_l) + \partial_x(\alpha_l \rho_l u_l^2 + \alpha_l p_l) - p_l \partial_x \alpha_l = \Theta_u(u_g - u_l)$$

$$\partial_t(\alpha_g \rho_g) + \partial_x(\alpha_g \rho_g u_g) = 0$$

$$\partial_t(\alpha_g \rho_g u_g) + \partial_x(\alpha_g \rho_g u_g^2 + \alpha_g p_g) - p_l \partial_x \alpha_g = \Theta_u(u_l - u_g)$$

**Proposition.** (Entropie) Les solutions *régulières* de  $(\mathcal{H})$  satisfont l'équation de conservation

$$\partial_t(\alpha_l \rho_l E_l + \alpha_g \rho_g E_g) + \partial_x(\alpha_l \rho_l E_l u_l + \alpha_g \rho_g E_g u_g + \alpha_l p_l u_l + \alpha_g p_g u_g) = 0.$$

$$\text{avec } E_l = \frac{u_l^2}{2} + e_l \text{ et } E_g = \frac{u_g^2}{2} + e_g.$$

Les solutions *régulières* de  $(\mathcal{S})$  satisfont l'équation

$$\partial_t(\alpha_l \rho_l E_l + \alpha_g \rho_g E_g) + \partial_x(\alpha_l \rho_l E_l u_l + \alpha_g \rho_g E_g u_g + \alpha_l p_l u_l + \alpha_g p_g u_g) = -\Theta_p(p_l - p_g)^2 - \Theta_u(u_l - u_g)^2.$$

---

# Modèle de Baer & Nunziato: Principales propriétés

---

$$\partial_t \alpha_l + u_g \cdot \partial_x \alpha_l = 0$$

$$\partial_t(\alpha_l \rho_l) + \partial_x(\alpha_l \rho_l u_l) = 0$$

$$(\mathcal{H}) \quad \partial_t(\alpha_l \rho_l u_l) + \partial_x(\alpha_l \rho_l u_l^2 + \alpha_l p_l) - p_l \partial_x \alpha_l = 0$$

$$\partial_t(\alpha_g \rho_g) + \partial_x(\alpha_g \rho_g u_g) = 0$$

$$\partial_t(\alpha_g \rho_g u_g) + \partial_x(\alpha_g \rho_g u_g^2 + \alpha_g p_g) - p_l \partial_x \alpha_g = 0$$

**Proposition.** (Entropie) Les solutions *faibles entropiques* de  $(\mathcal{H})$  satisfont l'inégalité d'entropie

$$\partial_t(\alpha_l \rho_l E_l + \alpha_g \rho_g E_g) + \partial_x(\alpha_l \rho_l E_l u_l + \alpha_g \rho_g E_g u_g + \alpha_l p_l u_l + \alpha_g p_g u_g) \leq 0.$$



# Modèle de Baer & Nunziato: Principales propriétés

---

$$\partial_t \alpha_l + u_g \cdot \partial_x \alpha_l = \Theta_p(p_l - p_g)$$

$$\partial_t(\alpha_l \rho_l) + \partial_x(\alpha_l \rho_l u_l) = 0$$

$$(\mathcal{S}) \quad \partial_t(\alpha_l \rho_l u_l) + \partial_x(\alpha_l \rho_l u_l^2 + \alpha_l p_l) - p_l \partial_x \alpha_l = \Theta_u(u_g - u_l)$$

$$\partial_t(\alpha_g \rho_g) + \partial_x(\alpha_g \rho_g u_g) = 0$$

$$\partial_t(\alpha_g \rho_g u_g) + \partial_x(\alpha_g \rho_g u_g^2 + \alpha_g p_g) - p_l \partial_x \alpha_g = \Theta_u(u_l - u_g)$$

**Proposition.** (Entropie) Les solutions *faibles entropiques* de  $(\mathcal{H})$  satisfont l'inégalité d'entropie

$$\partial_t(\alpha_l \rho_l E_l + \alpha_g \rho_g E_g) + \partial_x(\alpha_l \rho_l E_l u_l + \alpha_g \rho_g E_g u_g + \alpha_l p_l u_l + \alpha_g p_g u_g) \leq 0.$$



# Modèle de Baer & Nunziato: Principales propriétés

---

$$\partial_t \alpha_l + u_g \cdot \partial_x \alpha_l = \Theta_p(p_l - p_g)$$

$$\partial_t(\alpha_l \rho_l) + \partial_x(\alpha_l \rho_l u_l) = 0$$

$$(\mathcal{S}) \quad \partial_t(\alpha_l \rho_l u_l) + \partial_x(\alpha_l \rho_l u_l^2 + \alpha_l p_l) - p_l \partial_x \alpha_l = \Theta_u(u_g - u_l)$$

$$\partial_t(\alpha_g \rho_g) + \partial_x(\alpha_g \rho_g u_g) = 0$$

$$\partial_t(\alpha_g \rho_g u_g) + \partial_x(\alpha_g \rho_g u_g^2 + \alpha_g p_g) - p_l \partial_x \alpha_g = \Theta_u(u_l - u_g)$$

**Proposition.** (Entropie) Les solutions *faibles entropiques* de  $(\mathcal{H})$  satisfont l'inégalité d'entropie

$$\partial_t(\alpha_l \rho_l E_l + \alpha_g \rho_g E_g) + \partial_x(\alpha_l \rho_l E_l u_l + \alpha_g \rho_g E_g u_g + \alpha_l p_l u_l + \alpha_g p_g u_g) \leq 0.$$

Les solutions *faibles entropiques* de  $(\mathcal{S})$  satisfont l'inégalité

$$\partial_t(\alpha_l \rho_l E_l + \alpha_g \rho_g E_g) + \partial_x(\alpha_l \rho_l E_l u_l + \alpha_g \rho_g E_g u_g + \alpha_l p_l u_l + \alpha_g p_g u_g) \leq -\Theta_p(p_l - p_g)^2 - \Theta_u(u_l - u_g)^2.$$

---

# Modèle de Baer & Nunziato: Principales propriétés

---

$$\partial_t \alpha_l + u_g \cdot \partial_x \alpha_l = \Theta_p(p_l - p_g)$$

$$\partial_t(\alpha_l \rho_l) + \partial_x(\alpha_l \rho_l u_l) = 0$$

$$(\mathcal{S}) \quad \partial_t(\alpha_l \rho_l u_l) + \partial_x(\alpha_l \rho_l u_l^2 + \alpha_l p_l) - p_l \partial_x \alpha_l = \Theta_u(u_g - u_l)$$

$$\partial_t(\alpha_g \rho_g) + \partial_x(\alpha_g \rho_g u_g) = 0$$

$$\partial_t(\alpha_g \rho_g u_g) + \partial_x(\alpha_g \rho_g u_g^2 + \alpha_g p_g) - p_l \partial_x \alpha_g = \Theta_u(u_l - u_g)$$

**Proposition.** (Entropie) Les solutions *faibles entropiques* de  $(\mathcal{H})$  satisfont l'inégalité d'entropie

$$\partial_t(\alpha_l \rho_l E_l + \alpha_g \rho_g E_g) + \partial_x(\alpha_l \rho_l E_l u_l + \alpha_g \rho_g E_g u_g + \alpha_l p_l u_l + \alpha_g p_g u_g) \leq 0.$$

Les solutions *faibles entropiques* de  $(\mathcal{S})$  satisfont l'inégalité

$$\partial_t(\alpha_l \rho_l E_l + \alpha_g \rho_g E_g) + \partial_x(\alpha_l \rho_l E_l u_l + \alpha_g \rho_g E_g u_g + \alpha_l p_l u_l + \alpha_g p_g u_g) \leq -\Theta_p(p_l - p_g)^2 - \Theta_u(u_l - u_g)^2.$$

Relaxation  $\approx$  Dissipation  $\approx$  Stabilisation

Yong, Chen-Livermore-Liu, Liu, Natalini, Hanouzet-Natalini, Whitham...

---

# Modèle de Baer & Nunziato: Stratégie numérique

---

## Splitting d'opérateur

$$\partial_t \alpha_l + u_g \cdot \partial_x \alpha_l = 0$$

$$\partial_t(\alpha_l \rho_l) + \partial_x(\alpha_l \rho_l u_l) = 0$$

$$\partial_t(\alpha_l \rho_l u_l) + \partial_x(\alpha_l \rho_l u_l^2 + \alpha_l p_l) - p_l \partial_x \alpha_l = 0 \quad (\mathcal{H})$$

$$\partial_t(\alpha_g \rho_g) + \partial_x(\alpha_g \rho_g u_g) = 0$$

$$\partial_t(\alpha_g \rho_g u_g) + \partial_x(\alpha_g \rho_g u_g^2 + \alpha_g p_g) - p_g \partial_x \alpha_g = 0$$

$$\partial_t \alpha_l = \Theta_p(p_l - p_g)$$

$$\partial_t(\alpha_l \rho_l) = 0$$

$$\partial_t(\alpha_l \rho_l u_l) = \Theta_u(u_g - u_l)$$

$$\partial_t(\alpha_g \rho_g) = 0$$

$$\partial_t(\alpha_g \rho_g u_g) = \Theta_u(u_l - u_g)$$

---

# Le problème de Riemann pour $(\mathcal{H})$

---

$$\begin{cases} \partial_t \mathbf{U} + \partial_x \mathbf{f}(\mathbf{U}) + \mathbf{c}(\mathbf{U}) \partial_x \mathbf{U} = 0, & x \in \mathbb{R}, t > 0, \\ \mathbf{U}(x, t = 0) = \begin{cases} \mathbf{U}_L & \text{si } x < 0, \\ \mathbf{U}_R & \text{si } x > 0. \end{cases} \end{cases}$$

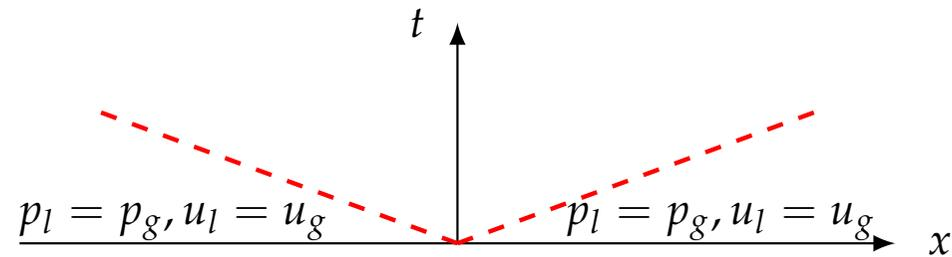


# Le problème de Riemann pour $(\mathcal{H})$

---

$$\begin{cases} \partial_t \mathbf{U} + \partial_x \mathbf{f}(\mathbf{U}) + \mathbf{c}(\mathbf{U}) \partial_x \mathbf{U} = 0, & x \in \mathbb{R}, t > 0, \\ \mathbf{U}(x, t = 0) = \begin{cases} \mathbf{U}_L & \text{si } x < 0, \\ \mathbf{U}_R & \text{si } x > 0. \end{cases} \end{cases}$$

## Déséquilibres en pression-vitesse

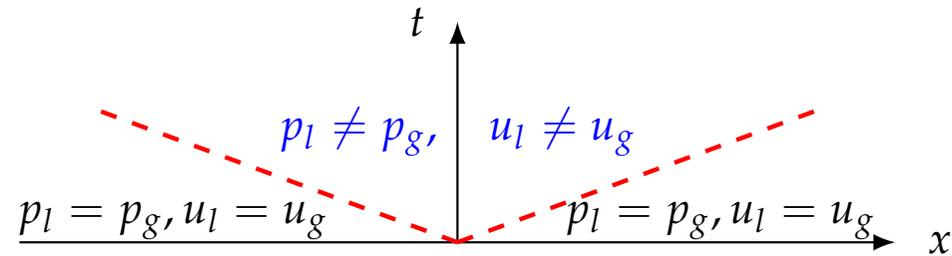


# Le problème de Riemann pour $(\mathcal{H})$

---

$$\begin{cases} \partial_t \mathbf{U} + \partial_x \mathbf{f}(\mathbf{U}) + \mathbf{c}(\mathbf{U}) \partial_x \mathbf{U} = 0, & x \in \mathbb{R}, t > 0, \\ \mathbf{U}(x, t = 0) = \begin{cases} \mathbf{U}_L & \text{si } x < 0, \\ \mathbf{U}_R & \text{si } x > 0. \end{cases} \end{cases}$$

## Déséquilibres en pression-vitesse

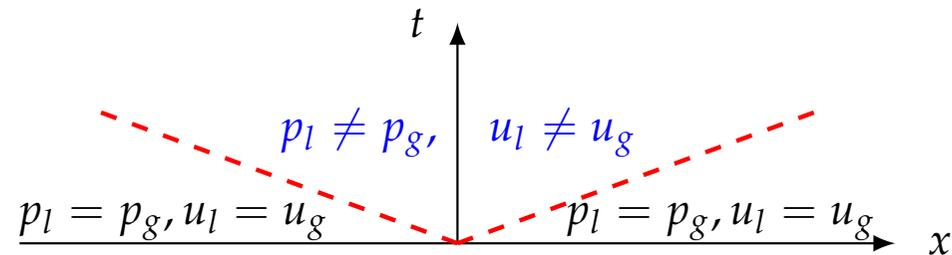


# Le problème de Riemann pour $(\mathcal{H})$

---

$$\begin{cases} \partial_t \mathbf{U} + \partial_x \mathbf{f}(\mathbf{U}) + \mathbf{c}(\mathbf{U}) \partial_x \mathbf{U} = 0, & x \in \mathbb{R}, t > 0, \\ \mathbf{U}(x, t = 0) = \begin{cases} \mathbf{U}_L & \text{si } x < 0, \\ \mathbf{U}_R & \text{si } x > 0. \end{cases} \end{cases}$$

## Déséquilibres en pression-vitesse



**Les difficultés de la résolution** (aucune résolution complète)

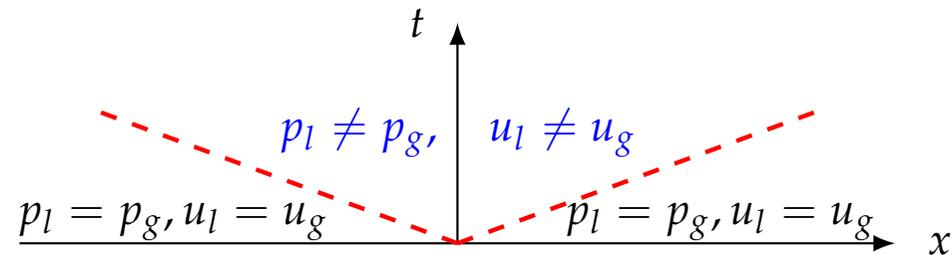
---

# Le problème de Riemann pour $(\mathcal{H})$

---

$$\begin{cases} \partial_t \mathbf{U} + \partial_x \mathbf{f}(\mathbf{U}) + \mathbf{c}(\mathbf{U}) \partial_x \mathbf{U} = 0, & x \in \mathbb{R}, t > 0, \\ \mathbf{U}(x, t = 0) = \begin{cases} \mathbf{U}_L & \text{si } x < 0, \\ \mathbf{U}_R & \text{si } x > 0. \end{cases} \end{cases}$$

## Déséquilibres en pression-vitesse



## Les difficultés de la résolution (aucune résolution complète)

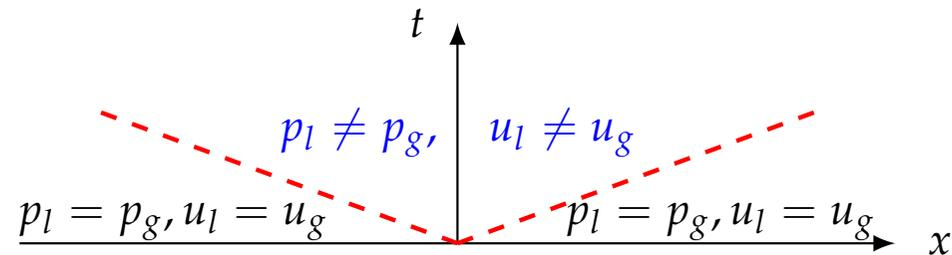
- ▷ Ordonnancement et croisement des ondes, résonance,
-

# Le problème de Riemann pour $(\mathcal{H})$

---

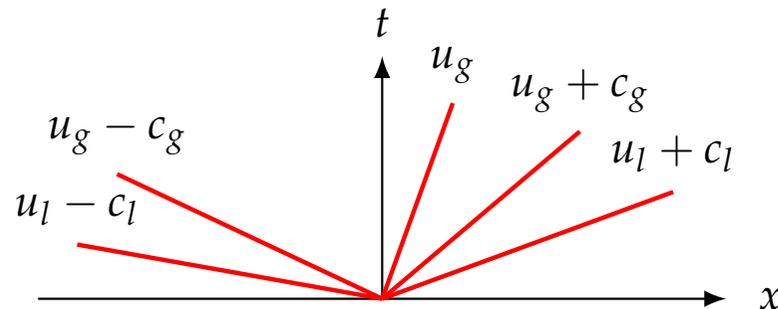
$$\begin{cases} \partial_t \mathbf{U} + \partial_x \mathbf{f}(\mathbf{U}) + \mathbf{c}(\mathbf{U}) \partial_x \mathbf{U} = 0, & x \in \mathbb{R}, t > 0, \\ \mathbf{U}(x, t = 0) = \begin{cases} \mathbf{U}_L & \text{si } x < 0, \\ \mathbf{U}_R & \text{si } x > 0. \end{cases} \end{cases}$$

## Déséquilibres en pression-vitesse



## Les difficultés de la résolution (aucune résolution complète)

- ▷ Ordonnancement et croisement des ondes, résonance,

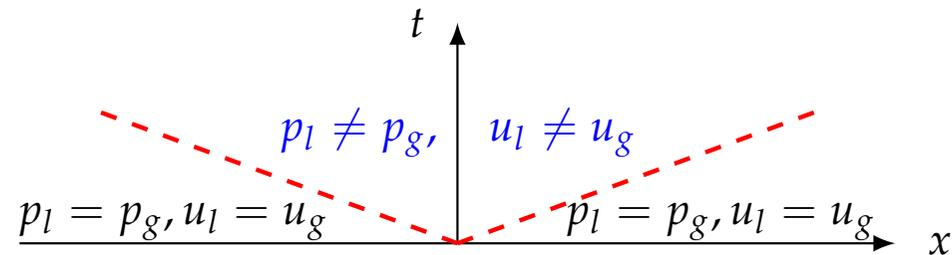


# Le problème de Riemann pour $(\mathcal{H})$

---

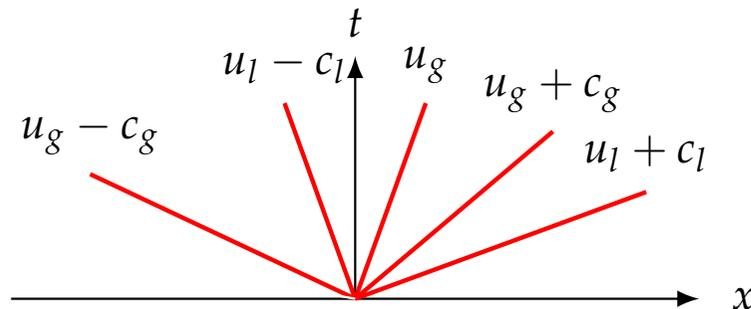
$$\begin{cases} \partial_t \mathbf{U} + \partial_x \mathbf{f}(\mathbf{U}) + \mathbf{c}(\mathbf{U}) \partial_x \mathbf{U} = 0, & x \in \mathbb{R}, t > 0, \\ \mathbf{U}(x, t = 0) = \begin{cases} \mathbf{U}_L & \text{si } x < 0, \\ \mathbf{U}_R & \text{si } x > 0. \end{cases} \end{cases}$$

## Déséquilibres en pression-vitesse



## Les difficultés de la résolution (aucune résolution complète)

- ▷ Ordonnancement et croisement des ondes, résonance,

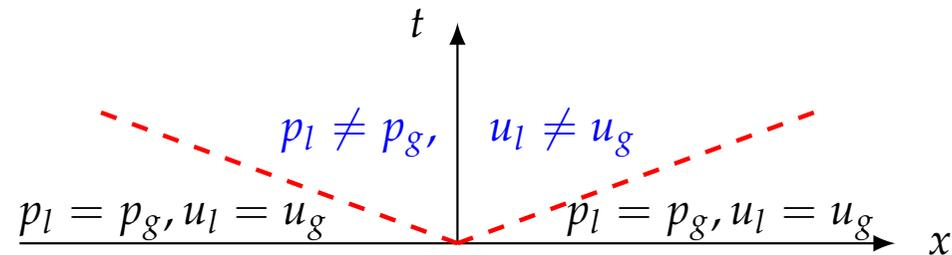


# Le problème de Riemann pour $(\mathcal{H})$

---

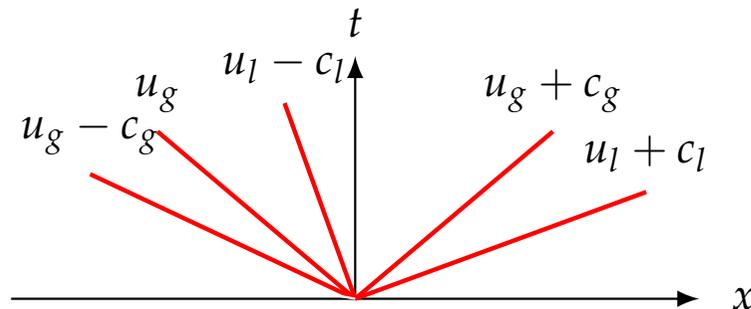
$$\begin{cases} \partial_t \mathbf{U} + \partial_x \mathbf{f}(\mathbf{U}) + \mathbf{c}(\mathbf{U}) \partial_x \mathbf{U} = 0, & x \in \mathbb{R}, t > 0, \\ \mathbf{U}(x, t = 0) = \begin{cases} \mathbf{U}_L & \text{si } x < 0, \\ \mathbf{U}_R & \text{si } x > 0. \end{cases} \end{cases}$$

## Déséquilibres en pression-vitesse



## Les difficultés de la résolution (aucune résolution complète)

- ▷ Ordonnancement et croisement des ondes, résonance,

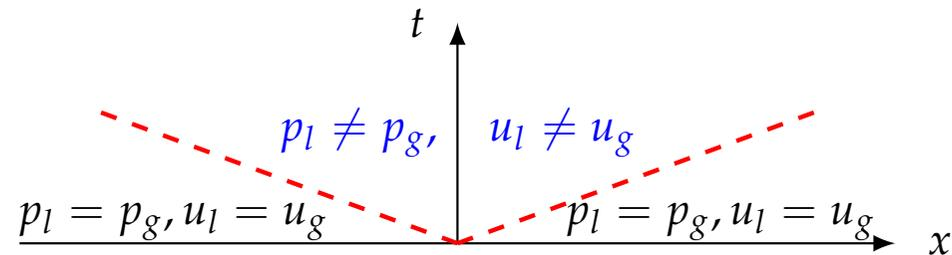


# Le problème de Riemann pour $(\mathcal{H})$

---

$$\begin{cases} \partial_t \mathbf{U} + \partial_x \mathbf{f}(\mathbf{U}) + \mathbf{c}(\mathbf{U}) \partial_x \mathbf{U} = 0, & x \in \mathbb{R}, t > 0, \\ \mathbf{U}(x, t = 0) = \begin{cases} \mathbf{U}_L & \text{si } x < 0, \\ \mathbf{U}_R & \text{si } x > 0. \end{cases} \end{cases}$$

## Déséquilibres en pression-vitesse



## Les difficultés de la résolution (aucune résolution complète)

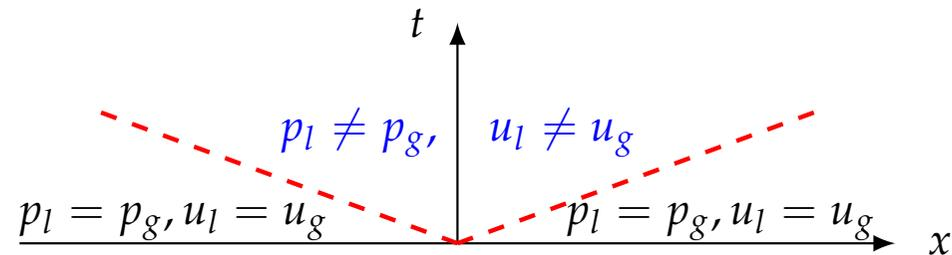
- ▷ Ordonnancement et croisement des ondes, résonance,
  - ▷ Non linéarités dues aux lois de pression,
-

# Le problème de Riemann pour $(\mathcal{H})$

---

$$\begin{cases} \partial_t \mathbf{U} + \partial_x \mathbf{f}(\mathbf{U}) + \mathbf{c}(\mathbf{U}) \partial_x \mathbf{U} = 0, & x \in \mathbb{R}, t > 0, \\ \mathbf{U}(x, t = 0) = \begin{cases} \mathbf{U}_L & \text{si } x < 0, \\ \mathbf{U}_R & \text{si } x > 0. \end{cases} \end{cases}$$

## Déséquilibres en pression-vitesse



## Les difficultés de la résolution (aucune résolution complète)

- ▷ Ordonnancement et croisement des ondes, résonance,
  - ▷ Non linéarités dues aux lois de pression,
  - ▷ Traitement des termes non conservatifs  $p_l \partial_x \alpha_l$ ,
-

# Approximation par relaxation

---

On introduit un système plus grand mais "plus linéaire" qui *relaxe* vers  $(\mathcal{H})$  dans la limite  $\varepsilon \rightarrow 0$ : Pour  $k \in \{l, g\}$ :

# Approximation par relaxation

---

On introduit un système plus grand mais "plus linéaire" qui *relaxe* vers ( $\mathcal{H}$ ) dans la limite  $\varepsilon \rightarrow 0$ : Pour  $k \in \{l, g\}$ :

$$\partial_t \alpha_l + u_g \cdot \partial_x \alpha_l = 0,$$

$$\partial_t (\alpha_k \rho_k) + \partial_x (\alpha_k \rho_k u_k) = 0,$$

$$\partial_t (\alpha_k \rho_k u_k) + \partial_x (\alpha_k \rho_k u_k^2 + \alpha_k \pi_k(\tau_k, \mathcal{T}_k)) - \pi_l(\tau_l, \mathcal{T}_l) \partial_x \alpha_k = 0,$$

$$\partial_t (\alpha_k \rho_k \mathcal{T}_k) + \partial_t (\alpha_k \rho_k u_k \mathcal{T}_k) = \frac{1}{\varepsilon} \alpha_k \rho_k (\tau_k - \mathcal{T}_k),$$

avec  $\pi_k(\tau_k, \mathcal{T}_k) = p_k(\mathcal{T}_k) + a_k^2 (\mathcal{T}_k - \tau_k)$ , où  $\tau_k = \rho_k^{-1}$ .

---

# Approximation par relaxation

---

On introduit un système plus grand mais "plus linéaire" qui *relaxe* vers ( $\mathcal{H}$ ) dans la limite  $\varepsilon \rightarrow 0$ : Pour  $k \in \{l, g\}$ :

$$\partial_t \alpha_l + u_g \cdot \partial_x \alpha_l = 0,$$

$$\partial_t (\alpha_k \rho_k) + \partial_x (\alpha_k \rho_k u_k) = 0,$$

$$\partial_t (\alpha_k \rho_k u_k) + \partial_x (\alpha_k \rho_k u_k^2 + \alpha_k \pi_k(\tau_k, \mathcal{T}_k)) - \pi_l(\tau_l, \mathcal{T}_l) \partial_x \alpha_k = 0,$$

$$\partial_t (\alpha_k \rho_k \mathcal{T}_k) + \partial_t (\alpha_k \rho_k u_k \mathcal{T}_k) = \frac{1}{\varepsilon} \alpha_k \rho_k (\tau_k - \mathcal{T}_k),$$

avec  $\pi_k(\tau_k, \mathcal{T}_k) = p_k(\mathcal{T}_k) + a_k^2 (\mathcal{T}_k - \tau_k)$ , où  $\tau_k = \rho_k^{-1}$ .

---

# Approximation par relaxation

---

On introduit un système plus grand mais "plus linéaire" qui *relaxe* vers ( $\mathcal{H}$ ) dans la limite  $\varepsilon \rightarrow 0$ : Pour  $k \in \{l, g\}$ :

$$\partial_t \alpha_l + u_g \cdot \partial_x \alpha_l = 0,$$

$$\partial_t(\alpha_k \rho_k) + \partial_x(\alpha_k \rho_k u_k) = 0,$$

$$(\mathcal{R}) \quad \partial_t(\alpha_k \rho_k u_k) + \partial_x(\alpha_k \rho_k u_k^2 + \alpha_k \pi_k(\tau_k, \mathcal{T}_k)) - \pi_l(\tau_l, \mathcal{T}_l) \partial_x \alpha_k = 0,$$

$$\partial_t(\alpha_k \rho_k \mathcal{T}_k) + \partial_x(\alpha_k \rho_k u_k \mathcal{T}_k) = 0,$$

avec  $\pi_k(\tau_k, \mathcal{T}_k) = p_k(\mathcal{T}_k) + a_k^2(\mathcal{T}_k - \tau_k)$ , où  $\tau_k = \rho_k^{-1}$ .

---

# Approximation par relaxation

---

On introduit un système plus grand mais "plus linéaire" qui *relaxe* vers  $(\mathcal{H})$  dans la limite  $\varepsilon \rightarrow 0$ : Pour  $k \in \{l, g\}$ :

$$\begin{aligned} & \partial_t \alpha_l + u_g \cdot \partial_x \alpha_l = 0, \\ & \partial_t (\alpha_k \rho_k) + \partial_x (\alpha_k \rho_k u_k) = 0, \\ (\mathcal{R}) \quad & \partial_t (\alpha_k \rho_k u_k) + \partial_x (\alpha_k \rho_k u_k^2 + \alpha_k \pi_k(\tau_k, \mathcal{T}_k)) - \pi_l(\tau_l, \mathcal{T}_l) \partial_x \alpha_k = 0, \\ & \partial_t (\alpha_k \rho_k \mathcal{T}_k) + \partial_x (\alpha_k \rho_k u_k \mathcal{T}_k) = 0, \end{aligned}$$

avec  $\pi_k(\tau_k, \mathcal{T}_k) = p_k(\mathcal{T}_k) + a_k^2 (\mathcal{T}_k - \tau_k)$ , où  $\tau_k = \rho_k^{-1}$ .

## Avantages de $(\mathcal{R})$ :

- ▷ Le système de relaxation est à champs **linéairement dégénérés**. Toutes les ondes sont des **décontinuités de contact**,
- ▷ Il existe une entropie pour le système  $(\mathcal{R})$ :

$$\partial_t (\alpha_l \rho_l \mathcal{E}_l + \alpha_g \rho_g \mathcal{E}_g) + \partial_x (\alpha_l \rho_l \mathcal{E}_l u_l + \alpha_l \pi_l u_l + \alpha_g \rho_g \mathcal{E}_g u_g + \alpha_g \pi_g u_g) = 0,$$

---

# Approximation par relaxation

---

On introduit un système plus grand mais "plus linéaire" qui *relaxe* vers  $(\mathcal{H})$  dans la limite  $\varepsilon \rightarrow 0$ : Pour  $k \in \{l, g\}$ :

$$\partial_t \alpha_l + u_g \cdot \partial_x \alpha_l = 0,$$

$$\partial_t (\alpha_k \rho_k) + \partial_x (\alpha_k \rho_k u_k) = 0,$$

$$(\mathcal{R}) \quad \partial_t (\alpha_k \rho_k u_k) + \partial_x (\alpha_k \rho_k u_k^2 + \alpha_k \pi_k(\tau_k, \mathcal{T}_k)) - \pi_l(\tau_l, \mathcal{T}_l) \partial_x \alpha_k = 0,$$

$$\partial_t (\alpha_k \rho_k \mathcal{T}_k) + \partial_t (\alpha_k \rho_k u_k \mathcal{T}_k) = 0,$$

avec  $\pi_k(\tau_k, \mathcal{T}_k) = p_k(\mathcal{T}_k) + a_k^2 (\mathcal{T}_k - \tau_k)$ , où  $\tau_k = \rho_k^{-1}$ .

## Difficultés liées à $(\mathcal{R})$ :

- ▷ Les valeurs propres  $u_k - a_k \tau_k$ ,  $u_k$  et  $u_k + a_k \tau_k$  ne sont pas naturellement ordonnées.
  - ▷ Phénomène de **résonance** possible.
  - ▷ Les équations des deux phases sont **couplées** par les termes non conservatifs  $\pi_l \partial_x \alpha_k$ .
-

# Problème de Riemann pour $(\mathcal{R})$

---

On cherche une solution de

$$\begin{aligned} & \partial_t \alpha_l + u_g \cdot \partial_x \alpha_l = 0, \\ & \partial_t(\alpha_k \rho_k) + \partial_x(\alpha_k \rho_k u_k) = 0, \\ (\mathcal{R}) \quad & \partial_t(\alpha_k \rho_k u_k) + \partial_x(\alpha_k \rho_k u_k^2 + \alpha_k \pi_k(\tau_k, \mathcal{T}_k)) - \pi_l(\tau_l, \mathcal{T}_l) \partial_x \alpha_k = 0, \\ & \partial_t(\alpha_k \rho_k \mathcal{T}_k) + \partial_t(\alpha_k \rho_k u_k \mathcal{T}_k) = 0. \end{aligned}$$

pour la donnée initiale  $\mathbb{W}(x, t = 0) = \begin{cases} \mathbb{W}_L & \text{si } x < 0, \\ \mathbb{W}_R & \text{si } x > 0. \end{cases}$

---

# Problème de Riemann pour $(\mathcal{R})$

---

On cherche une solution de

$$\begin{aligned} & \partial_t \alpha_l + u_g \cdot \partial_x \alpha_l = 0, \\ & \partial_t(\alpha_k \rho_k) + \partial_x(\alpha_k \rho_k u_k) = 0, \\ (\mathcal{R}) \quad & \partial_t(\alpha_k \rho_k u_k) + \partial_x(\alpha_k \rho_k u_k^2 + \alpha_k \pi_k(\tau_k, \mathcal{T}_k)) - \pi_l(\tau_l, \mathcal{T}_l) \partial_x \alpha_k = 0, \\ & \partial_t(\alpha_k \rho_k \mathcal{T}_k) + \partial_x(\alpha_k \rho_k u_k \mathcal{T}_k) = 0. \end{aligned}$$

pour la donnée initiale  $\mathbb{W}(x, t = 0) = \begin{cases} \mathbb{W}_L & \text{si } x < 0, \\ \mathbb{W}_R & \text{si } x > 0. \end{cases}$

On cherche les solutions **subsoniques en vitesse relative**:  $|u_l - u_g| < \min(a_g \tau_g, a_l \tau_l)$ .

---

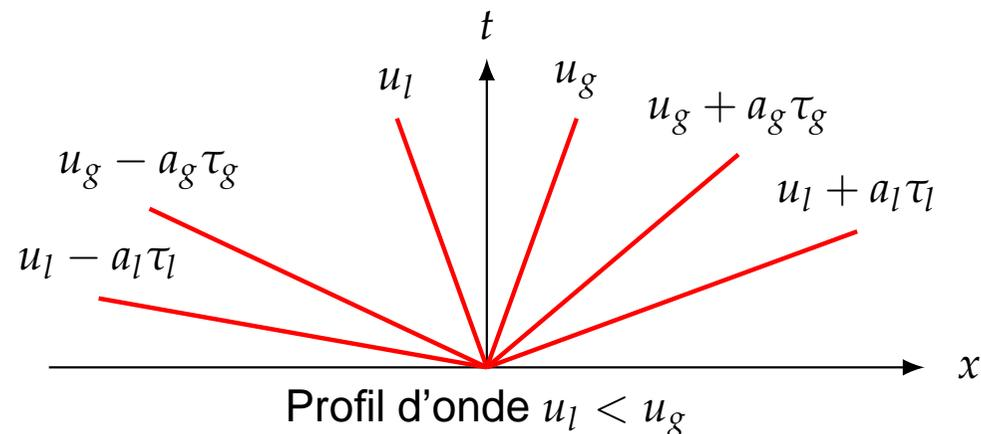
# Problème de Riemann pour $(\mathcal{R})$

On cherche une solution de

$$\begin{aligned} & \partial_t \alpha_l + u_g \cdot \partial_x \alpha_l = 0, \\ & \partial_t (\alpha_k \rho_k) + \partial_x (\alpha_k \rho_k u_k) = 0, \\ (\mathcal{R}) \quad & \partial_t (\alpha_k \rho_k u_k) + \partial_x (\alpha_k \rho_k u_k^2 + \alpha_k \pi_k(\tau_k, \mathcal{T}_k)) - \pi_l(\tau_l, \mathcal{T}_l) \partial_x \alpha_k = 0, \\ & \partial_t (\alpha_k \rho_k \mathcal{T}_k) + \partial_x (\alpha_k \rho_k u_k \mathcal{T}_k) = 0. \end{aligned}$$

pour la donnée initiale  $\mathbb{W}(x, t = 0) = \begin{cases} \mathbb{W}_L & \text{si } x < 0, \\ \mathbb{W}_R & \text{si } x > 0. \end{cases}$

On cherche les solutions **subsoniques en vitesse relative**:  $|u_l - u_g| < \min(a_g \tau_g, a_l \tau_l)$ .



# Problème de Riemann pour $(\mathcal{R})$

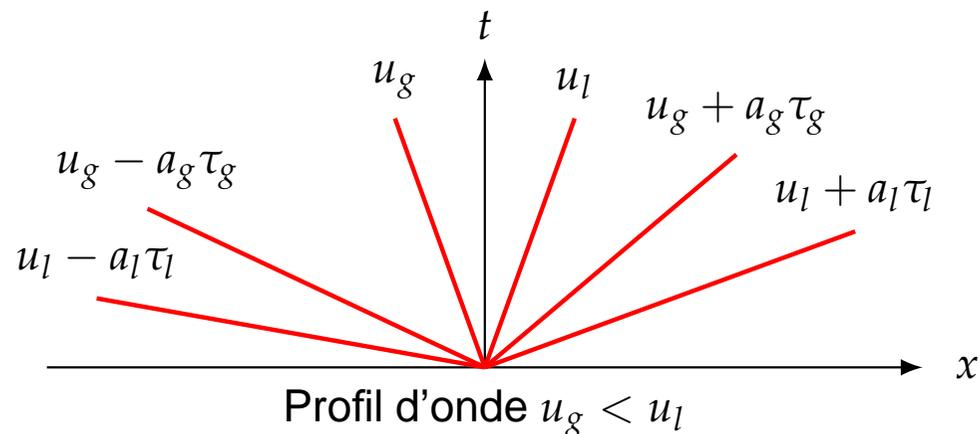
---

On cherche une solution de

$$\begin{aligned} & \partial_t \alpha_l + u_g \cdot \partial_x \alpha_l = 0, \\ & \partial_t (\alpha_k \rho_k) + \partial_x (\alpha_k \rho_k u_k) = 0, \\ (\mathcal{R}) \quad & \partial_t (\alpha_k \rho_k u_k) + \partial_x (\alpha_k \rho_k u_k^2 + \alpha_k \pi_k(\tau_k, \mathcal{T}_k)) - \pi_l(\tau_l, \mathcal{T}_l) \partial_x \alpha_k = 0, \\ & \partial_t (\alpha_k \rho_k \mathcal{T}_k) + \partial_x (\alpha_k \rho_k u_k \mathcal{T}_k) = 0. \end{aligned}$$

pour la donnée initiale  $\mathbb{W}(x, t = 0) = \begin{cases} \mathbb{W}_L & \text{si } x < 0, \\ \mathbb{W}_R & \text{si } x > 0. \end{cases}$

On cherche les solutions **subsoniques en vitesse relative**:  $|u_l - u_g| < \min(a_g \tau_g, a_l \tau_l)$ .



# Problème de Riemann pour $(\mathcal{R})$

---

**Théorème.** Si les données initiales  $(W_L, W_R) \in \Omega^r \times \Omega^r$  sont telles que

$$\max \left( 0, \mathcal{M}_L^\# - \frac{a_g}{a_l} \frac{\tau_{g,R}^\#}{\tau_{l,L}^\#} \right) < \mathcal{M}_L^\# - \frac{a_l}{a_g} \Lambda(\alpha) \mathcal{P}_L^\# < \min \left( 1 - \frac{a_l}{a_g} |\Lambda(\alpha)|, \mathcal{M}_L^\# + \frac{a_g}{a_l} \frac{\tau_{g,L}^\#}{\tau_{l,L}^\#} \right)$$

avec

*Des nombres réduits qui ne dépendent pas de  $\alpha$ :*

- ▷  $\mathcal{M}_L^\#$  un nombre de Mach relatif qui mesure l'écart  $u_l - u_g$  dans la donnée initiale,
- ▷  $\mathcal{P}_L^\#$  un nombre réduit qui mesure l'écart  $\pi_l - \pi_g$  dans la donnée initiale,
- ▷ Les quantités  $\tau^\#$  sont homogènes à des volumes spécifiques,

*Une quantité qui dépend de  $\alpha$ :*

$$\Lambda(\alpha) = \frac{\alpha_{g,R} - \alpha_{g,L}}{\alpha_{g,R} + \alpha_{g,L}} \in (-1, 1),$$

*alors* le système  $(\mathcal{R})$  admet une solution au problème de Riemann de profil d'onde subsonique  $u_g < u_l$ .

---

# Problème de Riemann pour $(\mathcal{R})$

---

**Idée de la preuve:**

$$\begin{aligned} & \partial_t \alpha_l + u_g \cdot \partial_x \alpha_l = 0, \\ & \partial_t (\alpha_k \rho_k) + \partial_x (\alpha_k \rho_k u_k) = 0, \\ (\mathcal{R}) \quad & \partial_t (\alpha_k \rho_k u_k) + \partial_x (\alpha_k \rho_k u_k^2 + \alpha_k \pi_k(\tau_k, \mathcal{T}_k)) - \pi_l \partial_x \alpha_k = 0, \\ & \partial_t (\alpha_k \rho_k \mathcal{T}_k) + \partial_x (\alpha_k \rho_k u_k \mathcal{T}_k) = 0. \end{aligned}$$

# Problème de Riemann pour $(\mathcal{R})$

---

**Idée de la preuve:**

$$\begin{aligned} & \partial_t \alpha_l + u_g \cdot \partial_x \alpha_l = 0, \\ & \partial_t (\alpha_k \rho_k) + \partial_x (\alpha_k \rho_k u_k) = 0, \\ (\mathcal{R}) \quad & \partial_t (\alpha_k \rho_k u_k) + \partial_x (\alpha_k \rho_k u_k^2 + \alpha_k \pi_k(\tau_k, \mathcal{T}_k)) - \pi_l \partial_x \alpha_k = 0, \\ & \partial_t (\alpha_k \rho_k \mathcal{T}_k) + \partial_x (\alpha_k \rho_k u_k \mathcal{T}_k) = 0. \end{aligned}$$

Soit  $u_g^*$  la vitesse effective de l'onde  $u_g$  dans le solution du problème de Riemann.

---

# Problème de Riemann pour $(\mathcal{R})$

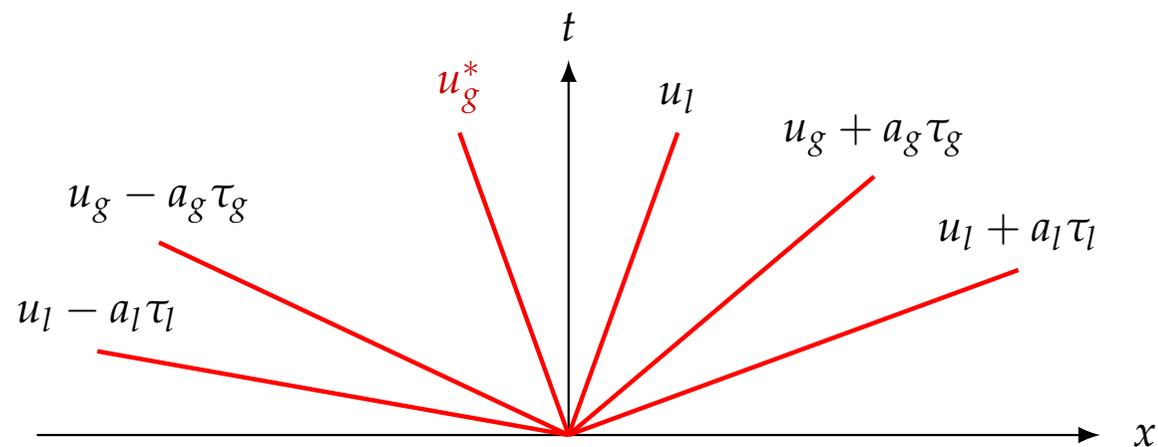
---

**Idée de la preuve:**

$$\begin{aligned} & \partial_t \alpha_l + u_g^* \cdot \partial_x \alpha_l = 0, \\ (\mathcal{R}) \quad & \partial_t(\alpha_k \rho_k) + \partial_x(\alpha_k \rho_k u_k) = 0, \\ & \partial_t(\alpha_k \rho_k u_k) + \partial_x(\alpha_k \rho_k u_k^2 + \alpha_k \pi_k(\tau_k, \mathcal{T}_k)) - \pi_l \partial_x \alpha_k = 0, \\ & \partial_t(\alpha_k \rho_k \mathcal{T}_k) + \partial_x(\alpha_k \rho_k u_k \mathcal{T}_k) = 0. \end{aligned}$$

Soit  $u_g^*$  la vitesse effective de l'onde  $u_g$  dans le solution du problème de Riemann.

▷ On remarque que  $\partial_x \alpha_k = 0$  sauf si  $x - u_g^* t = 0$  où il vaut  $(\alpha_{k,R} - \alpha_{k,L}) \delta_{x - u_g^* t}$ .



# Problème de Riemann pour $(\mathcal{R})$

---

**Idée de la preuve:**

$$\begin{aligned} & \partial_t \alpha_l + u_g^* \cdot \partial_x \alpha_l = 0, \\ & \partial_t (\alpha_k \rho_k) + \partial_x (\alpha_k \rho_k u_k) = 0, \\ (\mathcal{R}) \quad & \partial_t (\alpha_k \rho_k u_k) + \partial_x (\alpha_k \rho_k u_k^2 + \alpha_k \pi_k(\tau_k, \mathcal{T}_k)) - \pi_l \partial_x \alpha_k = 0, \\ & \partial_t (\alpha_k \rho_k \mathcal{T}_k) + \partial_x (\alpha_k \rho_k u_k \mathcal{T}_k) = 0. \end{aligned}$$

Soit  $u_g^*$  la vitesse effective de l'onde  $u_g$  dans le solution du problème de Riemann.

- ▷ On remarque que  $\partial_x \alpha_k = 0$  sauf si  $x - u_g^* t = 0$  où il vaut  $(\alpha_{k,R} - \alpha_{k,L}) \delta_{x - u_g^* t}$ .
- ▷ Si on suppose que l'on connaît une prédiction de  $\pi_l : \pi_l^*$



# Problème de Riemann pour $(\mathcal{R})$

---

**Idée de la preuve:**

$$\begin{aligned} & \partial_t \alpha_l + u_g^* \cdot \partial_x \alpha_l = 0, \\ & \partial_t(\alpha_k \rho_k) + \partial_x(\alpha_k \rho_k u_k) = 0, \\ (\mathcal{R}) \quad & \partial_t(\alpha_k \rho_k u_k) + \partial_x(\alpha_k \rho_k u_k^2 + \alpha_k \pi_k(\tau_k, \mathcal{T}_k)) - \pi_l \partial_x \alpha_k = 0, \\ & \partial_t(\alpha_k \rho_k \mathcal{T}_k) + \partial_t(\alpha_k \rho_k u_k \mathcal{T}_k) = 0. \end{aligned}$$

Soit  $u_g^*$  la vitesse effective de l'onde  $u_g$  dans le solution du problème de Riemann.

- ▷ On remarque que  $\partial_x \alpha_k = 0$  sauf si  $x - u_g^* t = 0$  où il vaut  $(\alpha_{k,R} - \alpha_{k,L}) \delta_{x - u_g^* t}$ .
- ▷ Si on suppose que l'on connaît une prédiction de  $\pi_l : \pi_l^*$

$$\begin{aligned} & \partial_t \alpha_l + u_g^* \cdot \partial_x \alpha_l = 0, \\ & \partial_t(\alpha_k \rho_k) + \partial_x(\alpha_k \rho_k u_k) = 0, \\ (\mathcal{R}) \quad & \partial_t(\alpha_k \rho_k u_k) + \partial_x(\alpha_k \rho_k u_k^2 + \alpha_k \pi_k(\tau_k, \mathcal{T}_k)) = \pi_l^* [\alpha_k] \delta_{x - u_g^* t}, \\ & \partial_t(\alpha_k \rho_k \mathcal{T}_k) + \partial_t(\alpha_k \rho_k u_k \mathcal{T}_k) = 0. \end{aligned}$$

---

# Problème de Riemann pour $(\mathcal{R})$

---

## **Idée de la preuve:**

Les deux phases sont **découplées**

---

# Problème de Riemann pour $(\mathcal{R})$

---

## Idée de la preuve:

Les deux phases sont **découplées**

Phase **gaz**

$$\partial_t \alpha_g + u_g^* \partial_x \alpha_g = 0,$$

$$\partial_t (\alpha_g \rho_g) + \partial_x (\alpha_g \rho_g u_g) = 0,$$

$$\partial_t (\alpha_g \rho_g u_g) + \partial_x (\alpha_g \rho_g u_g^2 + \alpha_g \pi_g (\tau_g \mathcal{T}_g)) = \pi_l^* [\alpha_l] \delta_{x-u_g^* t},$$

$$\partial_t (\alpha_g \rho_g \mathcal{T}_g) + \partial_x (\alpha_g \rho_g u_g \mathcal{T}_g) = 0$$

On connaît  $\pi_l^*$ , on calcule  $u_g^*$  :  $u_g^* = \Phi(\pi_l^*)$ .

---

# Problème de Riemann pour $(\mathcal{R})$

---

## Idée de la preuve:

Les deux phases sont **découplées**

Phase **gaz**

$$\partial_t \alpha_g + u_g^* \partial_x \alpha_g = 0,$$

$$\partial_t (\alpha_g \rho_g) + \partial_x (\alpha_g \rho_g u_g) = 0,$$

$$\partial_t (\alpha_g \rho_g u_g) + \partial_x (\alpha_g \rho_g u_g^2 + \alpha_g \pi_g (\tau_g \mathcal{T}_g)) = \pi_l^* [\alpha_l] \delta_{x-u_g^* t},$$

$$\partial_t (\alpha_g \rho_g \mathcal{T}_g) + \partial_x (\alpha_g \rho_g u_g \mathcal{T}_g) = 0$$

On connaît  $\pi_l^*$ , on calcule  $u_g^*$  :  $u_g^* = \Phi(\pi_l^*)$ .

Phase **liquide**

$$\partial_t \alpha_l + u_g^* \partial_x \alpha_l = 0,$$

$$\partial_t (\alpha_l \rho_l) + \partial_x (\alpha_l \rho_l u_l) = 0,$$

$$\partial_t (\alpha_l \rho_l u_l) + \partial_x (\alpha_l \rho_l u_l^2 + \alpha_l \pi_l (\tau_l, \mathcal{T}_l)) = \pi_l^* [\alpha_l] \delta_{x-u_g^* t},$$

$$\partial_t (\alpha_l \rho_l \mathcal{T}_l) + \partial_x (\alpha_l \rho_l u_l \mathcal{T}_l) = 0$$

On connaît  $u_g^*$ , on calcule  $\pi_l^*$  :  $\pi_l^* = \Psi(u_g^*)$ .

---

# Problème de Riemann pour $(\mathcal{R})$

---

## Idée de la preuve:

Les deux phases sont **découplées**

Phase **gaz**

$$\partial_t \alpha_g + u_g^* \partial_x \alpha_g = 0,$$

$$\partial_t (\alpha_g \rho_g) + \partial_x (\alpha_g \rho_g u_g) = 0,$$

$$\partial_t (\alpha_g \rho_g u_g) + \partial_x (\alpha_g \rho_g u_g^2 + \alpha_g \pi_g (\tau_g \mathcal{T}_g)) = \pi_l^* [\alpha_l] \delta_{x-u_g^* t},$$

$$\partial_t (\alpha_g \rho_g \mathcal{T}_g) + \partial_x (\alpha_g \rho_g u_g \mathcal{T}_g) = 0$$

On connaît  $\pi_l^*$ , on calcule  $u_g^*$  :  $u_g^* = \Phi(\pi_l^*)$ .

Phase **liquide**

$$\partial_t \alpha_l + u_g^* \partial_x \alpha_l = 0,$$

$$\partial_t (\alpha_l \rho_l) + \partial_x (\alpha_l \rho_l u_l) = 0,$$

$$\partial_t (\alpha_l \rho_l u_l) + \partial_x (\alpha_l \rho_l u_l^2 + \alpha_l \pi_l (\tau_l, \mathcal{T}_l)) = \pi_l^* [\alpha_l] \delta_{x-u_g^* t},$$

$$\partial_t (\alpha_l \rho_l \mathcal{T}_l) + \partial_x (\alpha_l \rho_l u_l \mathcal{T}_l) = 0$$

On connaît  $u_g^*$ , on calcule  $\pi_l^*$  :  $\pi_l^* = \Psi(u_g^*)$ .

**Point fixe:**  $u_g^* = \Phi \circ \Psi(u_g^*)$

---

# Problème de Riemann pour $(\mathcal{R})$

---

**Analyse des inégalités obtenues:**

$$\max \left( 0, \mathcal{M}_L^\# - \frac{a_g}{a_l} \frac{\tau_{g,R}^\#}{\tau_{l,L}^\#} \right) < \mathcal{M}_L^\# - \frac{a_l}{a_g} \Lambda(\alpha) \mathcal{P}_L^\# < \min \left( 1 - \frac{a_l}{a_g} |\Lambda(\alpha)|, \mathcal{M}_L^\# + \frac{a_g}{a_l} \frac{\tau_{g,L}^\#}{\tau_{l,L}^\#} \right)$$



# Problème de Riemann pour $(\mathcal{R})$

---

**Analyse des inégalités obtenues:**

$$\mathcal{M}_L^\# - \frac{a_g}{a_l} \frac{\tau_{g,R}^\#}{\tau_{l,L}^\#} < \mathcal{M}_L^\# - \frac{a_l}{a_g} \Lambda(\alpha) \mathcal{P}_L^\# < \mathcal{M}_L^\# + \frac{a_g}{a_l} \frac{\tau_{g,L}^\#}{\tau_{l,L}^\#}$$

Condition suffisante pour assurer la **positivité des densités de la phase gaz**.

---

# Problème de Riemann pour $(\mathcal{R})$

---

**Analyse des inégalités obtenues:**

$$0 < \mathcal{M}_L^\# - \frac{a_l}{a_g} \Lambda(\alpha) \mathcal{P}_L^\# < 1 - \frac{a_l}{a_g} |\Lambda(\alpha)|$$

Condition suffisante pour assurer l'**ordonnement subsonique des ondes**.

---

# Problème de Riemann pour $(\mathcal{R})$

---

**Analyse des inégalités obtenues:**

$$0 < \mathcal{M}_L^\# - \frac{a_l}{a_g} \Lambda(\alpha) \mathcal{P}_L^\# < 1 - \frac{a_l}{a_g} |\Lambda(\alpha)|$$

Condition suffisante pour assurer l'**ordonnement subsonique des ondes**.

---

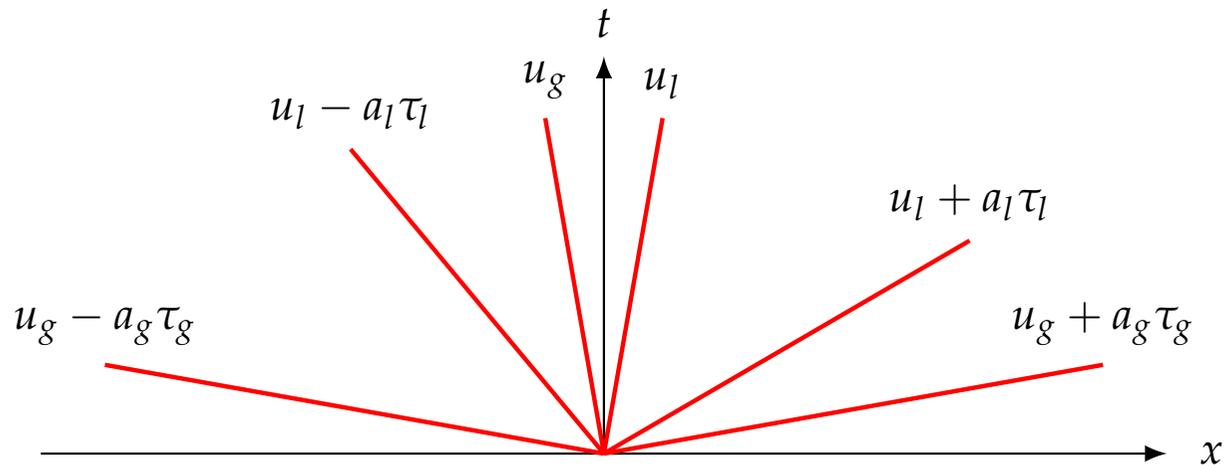
# Problème de Riemann pour $(\mathcal{R})$

---

**Analyse des inégalités obtenues:**

$$0 < \mathcal{M}_L^\# - \frac{a_l}{a_g} \Lambda(\alpha) \mathcal{P}_L^\# < 1 - \frac{a_l}{a_g} |\Lambda(\alpha)|$$

Condition suffisante pour assurer l'**ordonnancement subsonique des ondes**.



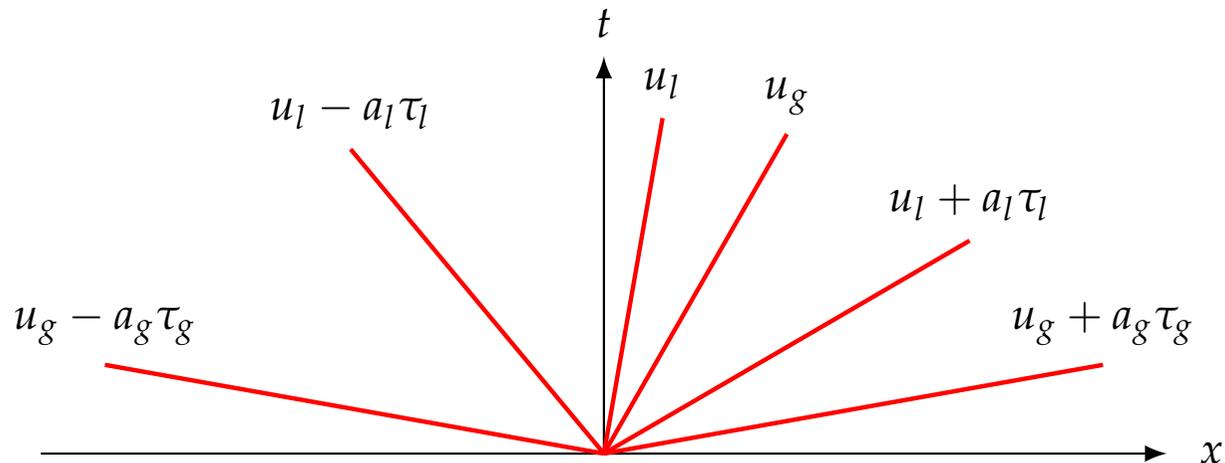
# Problème de Riemann pour $(\mathcal{R})$

---

**Analyse des inégalités obtenues:**

$$0 < \mathcal{M}_L^\# - \frac{a_l}{a_g} \Lambda(\alpha) \mathcal{P}_L^\# < 1 - \frac{a_l}{a_g} |\Lambda(\alpha)|$$

Condition suffisante pour assurer l'**ordonnancement subsonique des ondes**.



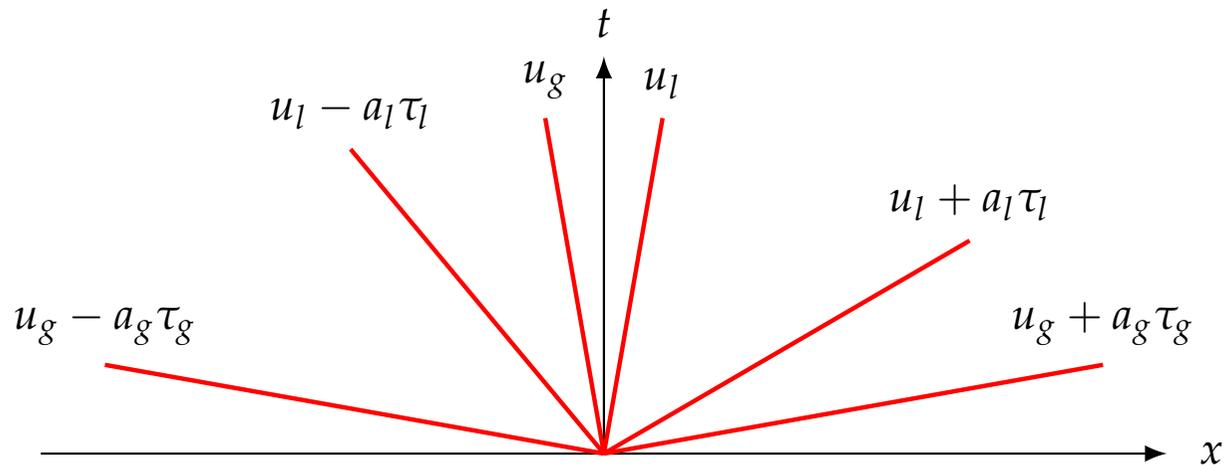
# Problème de Riemann pour $(\mathcal{R})$

---

**Analyse des inégalités obtenues:**

$$0 < \mathcal{M}_L^\# - \frac{a_l}{a_g} \Lambda(\alpha) \mathcal{P}_L^\# < 1 - \frac{a_l}{a_g} |\Lambda(\alpha)|$$

Condition suffisante pour assurer l'**ordonnancement subsonique des ondes**.



# Problème de Riemann pour $(\mathcal{R})$

---

**Analyse des inégalités obtenues:**

$$0 < \mathcal{M}_L^\# - \frac{a_l}{a_g} \Lambda(\alpha) \mathcal{P}_L^\# < 1 - \frac{a_l}{a_g} |\Lambda(\alpha)|$$

Condition suffisante pour assurer l'**ordonnement subsonique des ondes**.

---

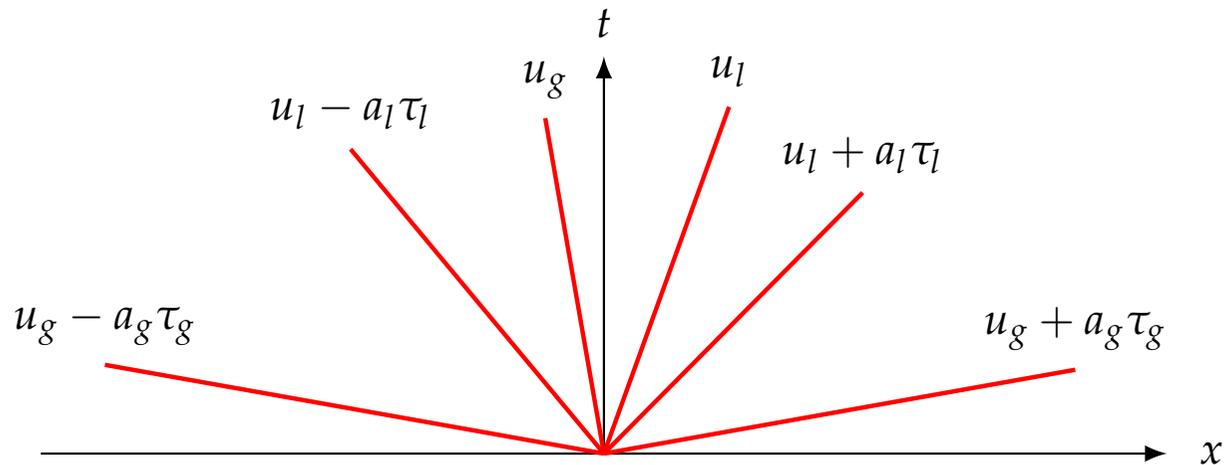
# Problème de Riemann pour $(\mathcal{R})$

---

Analyse des inégalités obtenues:

$$0 < \mathcal{M}_L^\# - \frac{a_l}{a_g} \Lambda(\alpha) \mathcal{P}_L^\# < 1 - \frac{a_l}{a_g} |\Lambda(\alpha)|$$

Condition suffisante pour assurer l'ordonnancement subsonique des ondes.



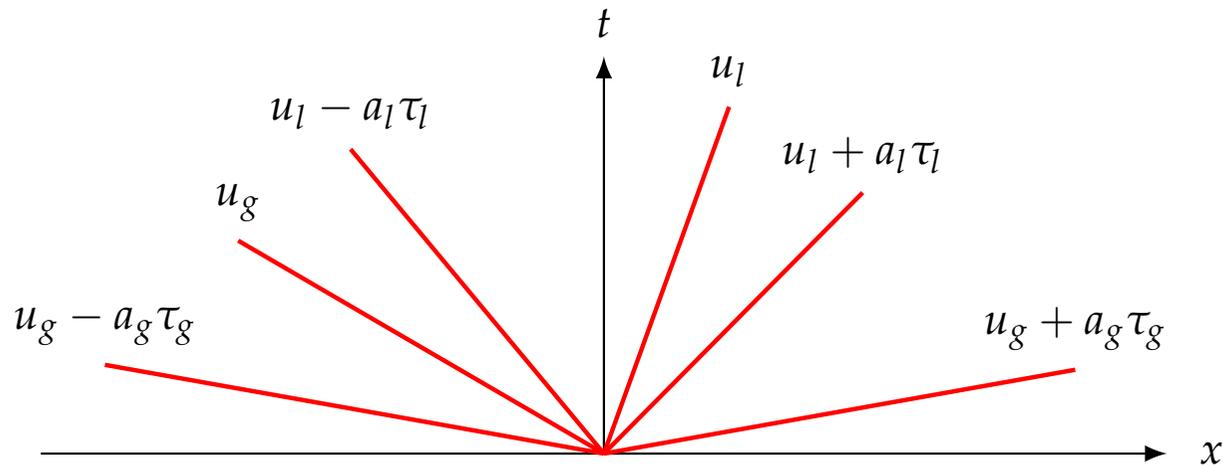
# Problème de Riemann pour $(\mathcal{R})$

---

**Analyse des inégalités obtenues:**

$$0 < \mathcal{M}_L^\# - \frac{a_l}{a_g} \Lambda(\alpha) \mathcal{P}_L^\# < 1 - \frac{a_l}{a_g} |\Lambda(\alpha)|$$

Condition suffisante pour assurer l'**ordonnancement subsonique des ondes**.



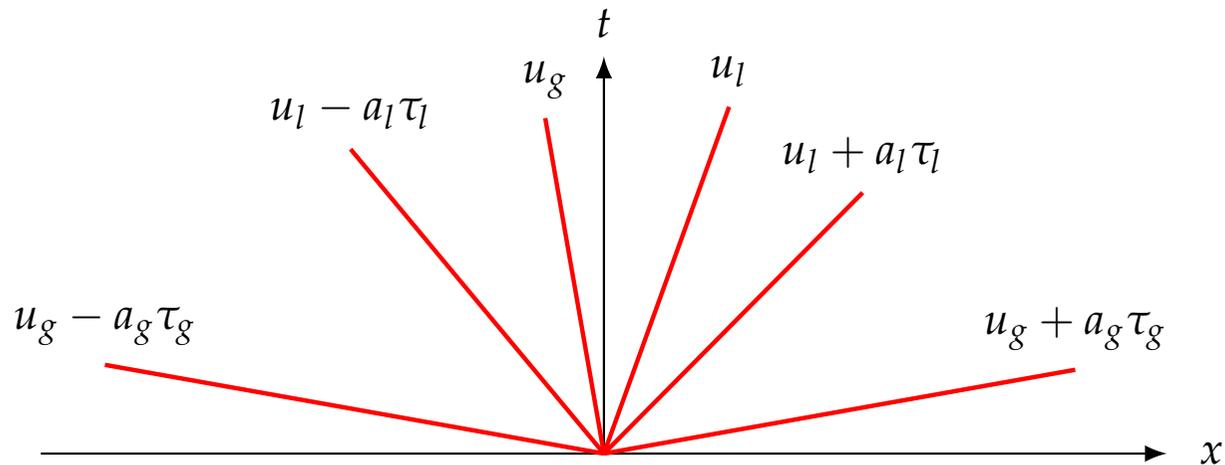
# Problème de Riemann pour $(\mathcal{R})$

---

**Analyse des inégalités obtenues:**

$$0 < \mathcal{M}_L^\# - \frac{a_l}{a_g} \Lambda(\alpha) \mathcal{P}_L^\# < 1 - \frac{a_l}{a_g} |\Lambda(\alpha)|$$

Condition suffisante pour assurer l'**ordonnancement subsonique des ondes**.



# Problème de Riemann pour $(\mathcal{R})$

---

**Analyse des inégalités obtenues:**

$$0 < \mathcal{M}_L^\# - \frac{a_l}{a_g} \Lambda(\alpha) \mathcal{P}_L^\# < 1 - \frac{a_l}{a_g} |\Lambda(\alpha)|$$

Condition suffisante pour assurer l'**ordonnement subsonique des ondes**.

---

# Problème de Riemann pour $(\mathcal{R})$

---

**Analyse des inégalités obtenues:**

$$0 < \mathcal{M}_L^\# - \frac{a_l}{a_g} \Lambda(\alpha) \mathcal{P}_L^\# < 1 - \frac{a_l}{a_g} |\Lambda(\alpha)|$$

Condition suffisante pour assurer l'**ordonnement subsonique des ondes**.

On considère des données initiales **proche équilibre**:

$$|u_l - u_g| = \varepsilon u(x), \quad |\pi_l - \pi_g| = \varepsilon \pi(x).$$



# Problème de Riemann pour $(\mathcal{R})$

---

**Analyse des inégalités obtenues:**

$$0 < \mathcal{M}_L^\# - \frac{a_l}{a_g} \Lambda(\alpha) \mathcal{P}_L^\# < 1 - \frac{a_l}{a_g} |\Lambda(\alpha)|$$

Condition suffisante pour assurer l'**ordonnement subsonique des ondes**.

On considère des données initiales **proche équilibre**:

$$|u_l - u_g| = \varepsilon u(x), \quad |\pi_l - \pi_g| = \varepsilon \pi(x).$$

Alors

$$|\mathcal{M}_L^\#| = \left| \frac{a_l}{a_g} - 1 \right| \mathcal{O}(1) + \mathcal{O}(\varepsilon), \quad |\mathcal{P}_L^\#| = \left| \frac{a_g}{a_l} - 1 \right| \mathcal{O}(1) + \mathcal{O}(\varepsilon).$$



# Problème de Riemann pour $(\mathcal{R})$

---

**Analyse des inégalités obtenues:**

$$0 < \mathcal{M}_L^\# - \frac{a_l}{a_g} \Lambda(\alpha) \mathcal{P}_L^\# < 1 - \frac{a_l}{a_g} |\Lambda(\alpha)|$$

Condition suffisante pour assurer l'**ordonnement subsonique des ondes**.

On considère des données initiales **proche équilibre**:

$$|u_l - u_g| = \varepsilon u(x), \quad |\pi_l - \pi_g| = \varepsilon \pi(x).$$

Alors

$$|\mathcal{M}_L^\#| = \left| \frac{a_l}{a_g} - 1 \right| \mathcal{O}(1) + \mathcal{O}(\varepsilon), \quad |\mathcal{P}_L^\#| = \left| \frac{a_g}{a_l} - 1 \right| \mathcal{O}(1) + \mathcal{O}(\varepsilon).$$

- ▷ Supposons  $a_l/a_g \approx 1$ . Si  $\alpha_{g,L} \rightarrow 0$  alors  $\Lambda(\alpha) \rightarrow 1$ . **Résonance** quand la phase gaz **disparaît**,
  - ▷ Si  $a_l/a_g \gg 1$ . **Résonance** possible à cause du terme  $\mathcal{M}_L^\#$ ,
  - ▷ Si  $a_l/a_g \ll 1$ . **Résonance** possible à cause du terme  $\mathcal{P}_L^\#$ .
-

# Problème de Riemann pour $(\mathcal{R})$

---

**Analyse des inégalités obtenues:**

$$0 < \mathcal{M}_L^\# - \frac{a_l}{a_g} \Lambda(\alpha) \mathcal{P}_L^\# < 1 - \frac{a_l}{a_g} |\Lambda(\alpha)|$$

Condition suffisante pour assurer l'**ordonnement subsonique des ondes**.

On considère des données initiales **proche équilibre**:

$$|u_l - u_g| = \varepsilon u(x), \quad |\pi_l - \pi_g| = \varepsilon \pi(x).$$

**Conclusion:**

En partant de données initiales **subsoniques proche équilibre** en vitesses et pressions, on peut avoir une solution **supersonique en vitesse relative**!

---

# Problème de Riemann pour $(\mathcal{R})$

---

## Analyse des inégalités obtenues:

$$0 < \mathcal{M}_L^\# - \frac{a_l}{a_g} \Lambda(\alpha) \mathcal{P}_L^\# < 1 - \frac{a_l}{a_g} |\Lambda(\alpha)|$$

Condition suffisante pour assurer l'**ordonnement subsonique des ondes**.

On considère des données initiales **proche équilibre**:

$$|u_l - u_g| = \varepsilon u(x), \quad |\pi_l - \pi_g| = \varepsilon \pi(x).$$

## Conclusion:

En partant de données initiales **subsoniques proche équilibre** en vitesses et pressions, on peut avoir une solution **supersonique en vitesse relative**!

La prise en compte des **termes source de relaxation** en pression et vitesse semble **indispensable**.

---

# Conclusion et perspectives

---

## Conclusion:

- ▷ Un système de relaxation pour le modèle de Baer-Nunziato,
- ▷ Solution du problème de Riemann relaxé pour les régimes d'écoulement subsonique: conditions *ab initio* pour l'ordonnancement des ondes,
- ▷ Importance des termes de retour à l'équilibre en vitesses et pressions.

## Perspectives:

- ▷ Prise en compte de la convection et des termes de retour à l'équilibre dans le même pas.
-

# Bibliographie

---

## Sur Baer-Nunziato:

- [1] A. Ambroso & C. Chalons & F. Coquel & T. Galié. Relaxation and numerical approximation of a two-fluid two-pressure diphasic model. *M2AN Math. Model. Numer. Anal.* 43 no. 6 pages 1063-1097, 2009.
- [2] M.R. Baer & J.W. Nunziato. A two phase mixture theory for the deflagration to detonation transition (ddt) in reactive granular materials. *Int. J. Multiphase Flows*, Vol 12(6), pages 861-889, 1986.
- [3] F. Coquel & K. Saleh & N. Seguin. Une méthode de relaxation pour le modèle de Baer-Nunziato en configuration isentropique. *Rapport EDF H-I81-2010-00435-FR*, 2010.

## Sur Euler en tuyère:

- [4] F. Coquel & K. Saleh & N. Seguin. Relaxation and numerical approximation for fluid flows in a nozzle. *Preprint en préparation*.
  - [5] P.G. LeFloch & M.D. Thanh. The Riemann problem for fluid flows in a nozzle with discontinuous cross-section. *Comm. Math. Sci. Vol1*, pages 763-796, 2003.
-

---

**Merci de votre attention.**

---